



*Национальный исследовательский университет ИТМО  
(Университет ИТМО)*

*Факультет систем управления и робототехники*

Дисциплина: Теория автоматического управления

**Отчет по лабораторной работе №10.**

«Альтернативные методы стабилизации системы»

Вариант 6

Студенты:  
*Кулижников Е.Б.*  
*Евстигнеев Д.М.*  
*\*пустое место\**  
Группа: *R33423*  
Преподаватель:  
*Парамонов А.В.*

Санкт-Петербург  
2022

- **Цель работы**

Изучить освоение альтернативных методов (не модальных) стабилизации линейных объектов

- **Ход работы**

Данные для 6 варианта:

№	A	B	C
6	$\begin{bmatrix} -1 & 2 \\ 9 & 0 \end{bmatrix}$	$\begin{bmatrix} 1 \\ 2 \end{bmatrix}$	$\begin{bmatrix} 6 & 0 \end{bmatrix}$

№	$\beta$	r	$\alpha$
6	-3,2	$\frac{ \beta }{3,3}$	3,5

Исходные матрицы:

$$A = \begin{bmatrix} -1 & 2 \\ 9 & 0 \end{bmatrix} \quad B = \begin{bmatrix} 1 \\ 2 \end{bmatrix} \quad C = \begin{bmatrix} 6 & 0 \end{bmatrix}$$

1. Вычислить параметры матрицы линейных стационарных обратных связей.

1.1. Для обеспечения желаемой степени сходимости матрица рассчитывается в соответствии с уравнениями

$$A^T P + P A - \nu K^T R K + 2\alpha P = -Q$$

$$K = R^{-1} B^T P, \text{ где } \nu = 2, R = 1, Q = I$$

Для дальнейшего удобства расчеты будем производить в утилите Wolfram или среде MatLab:

Для решения использовалась следующая программа

```
A=[-1 2; 9 0];
A_T=transpose(A);
B=[1;2];
B_T=transpose(B);
C=[6 0];
beta=-3.2;
r=abs(beta)/3.3;
alpha=3.5;
v=2;
R=1;
Q=eye(2);
[K P]=lqr(A+alpha*eye(2),B,Q,R/2)
K=inv(R)*B_T*P;
```

В итоге работы программы получилось, что матрица линейных стационарных обратных связей равна:

$$K = \begin{bmatrix} 6.9710 & 4.1575 \end{bmatrix}$$

1.2. Для обеспечения качественной экспоненциальной устойчивости 8 матрица рассчитывается в соответствии с системой уравнений

$$\begin{cases} (A - BK - \beta I)^T P (A - BK - \beta I) - r^2 P = -Q \\ K = (R + B^T P B)^{-1} B^T P (A - \beta I) \end{cases}, \text{ где } R = 0, Q = I.$$

Преобразуем код из прошлого пункта для решения новой системы, путем добавления функции solve и новых переменных и выражений:

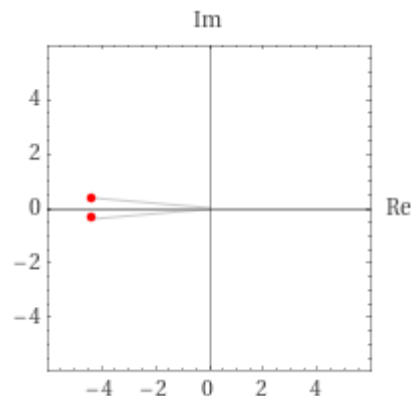
```
. . .
syms p11 p12 p22 k1 k2;
P=[p11 p12; p12 p22];
K=[k1 k2];
equ1=transpose(A-B*K-beta*eye(2))*P*(A-B*K-beta*eye(2))-r^2*P == -Q;
equ2= K == inv(R+B_T*P*B)*B_T*P*(A-beta*eye(2));
% equs= [equ1 equ2];
sol1=solve([equ1; equ2], [p11, p12, p22, k1, k2]);
sp1_1=double(sol1.p11);
sp1_2=double(sol1.p12);
sp2_2=double(sol1.p22);
for i=1:2
eig([sp1_1(i) sp1_2(i); sp1_2(i) sp2_2(i)]);
end
P=[sp1_1(2) sp1_2(2); sp1_2(2) sp2_2(2)];
K=double([sol1.k1(2) sol1.k2(2)]);
```

$$K = [4.3898 \quad 2.1008]$$

3. Проведение проверочного расчета, который основан на построении расположения корней первой подсистемы системы на комплексной плоскости и вычислением корней характеристического полинома второй подсистемы и сравнение их с корнями требуемого характеристического полинома.

ans =

```
-4.3215 + 0.3646i
-4.3215 - 0.3646i
```



ans =

```
-4.0203
-2.6158
```

Корни характеристического полинома лежат в окружности с центром в  $\beta = -3,2$  и  $r = \frac{|\beta|}{3,3} \approx 1,0$ . Полученные значения лежат в пределах этой окружности

4. Провести компьютерное моделирование замкнутой системы

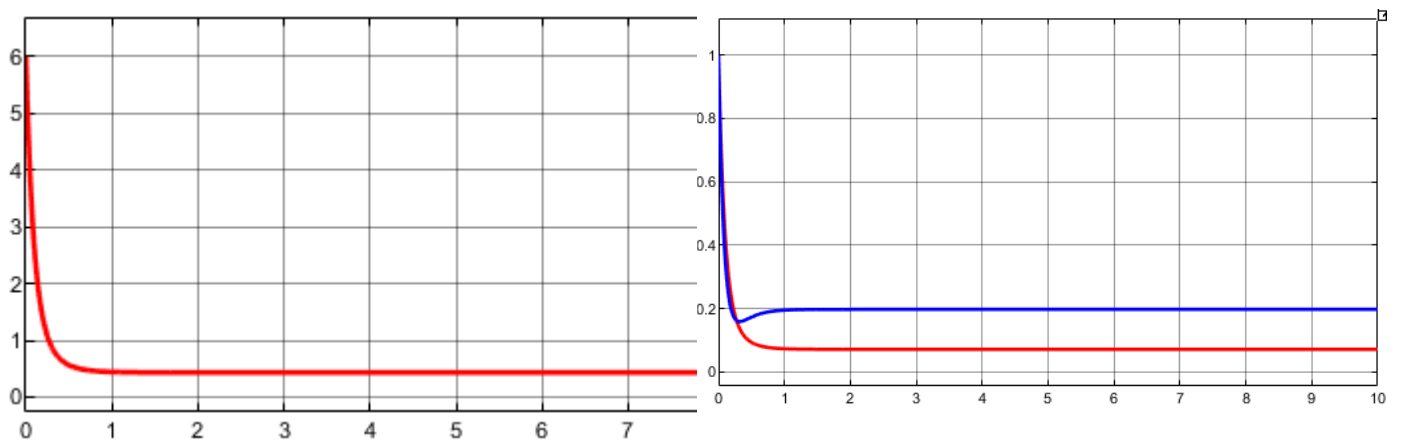
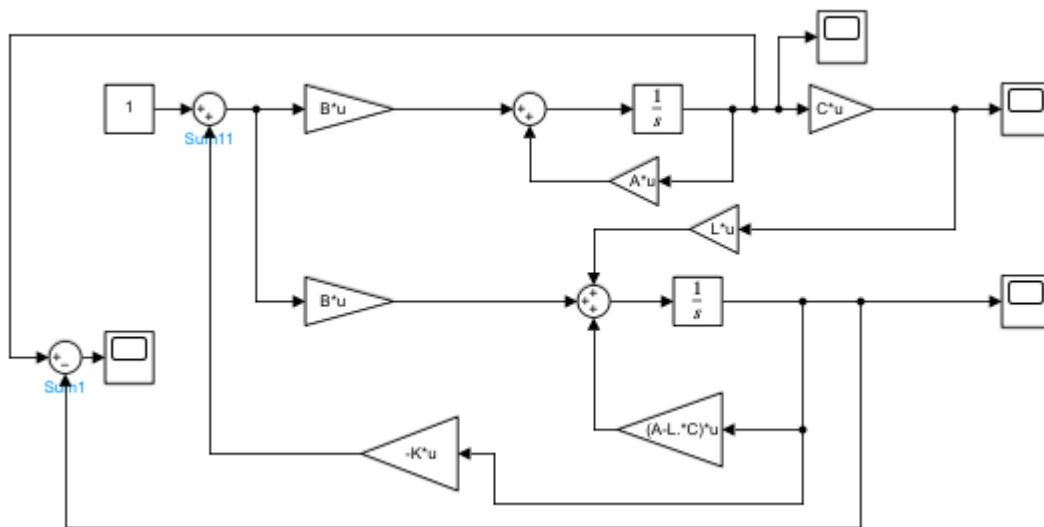


Рис. 1 Графики выходной переменной и состояний первой подсистемы

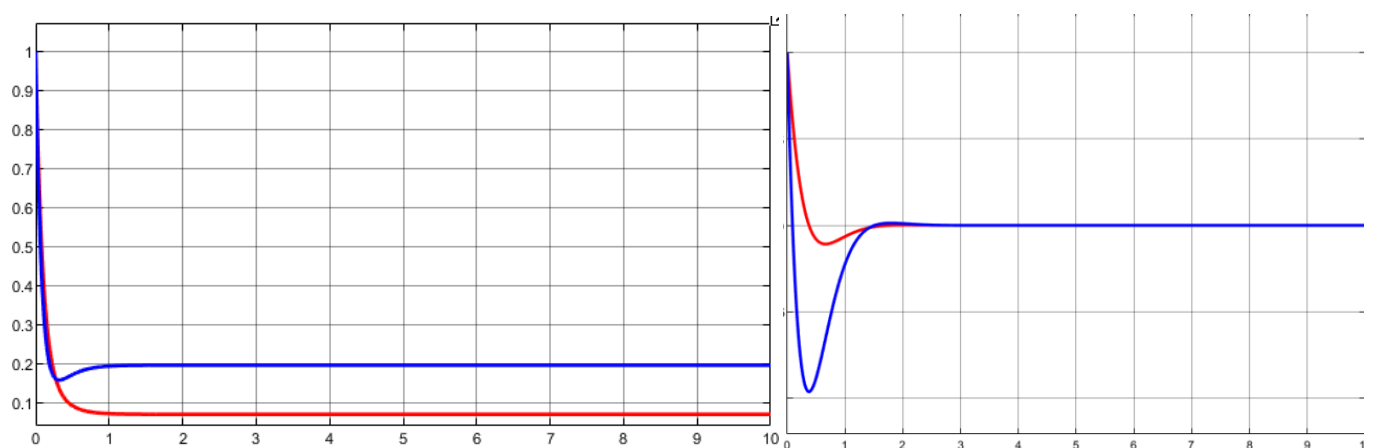
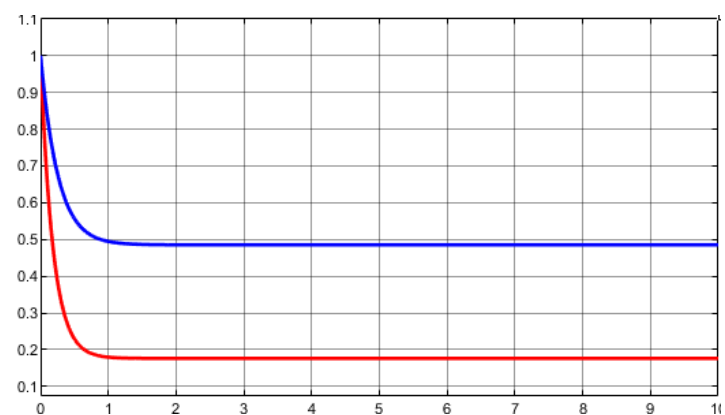
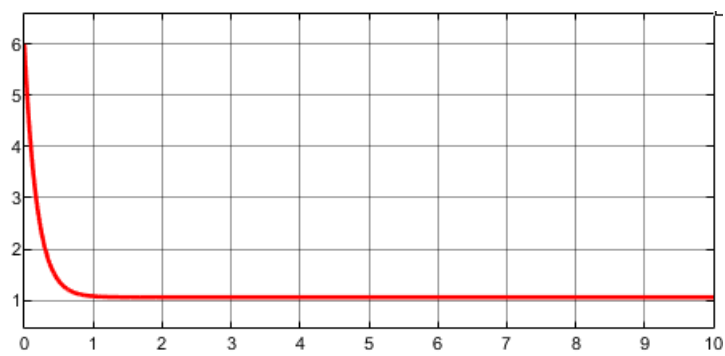
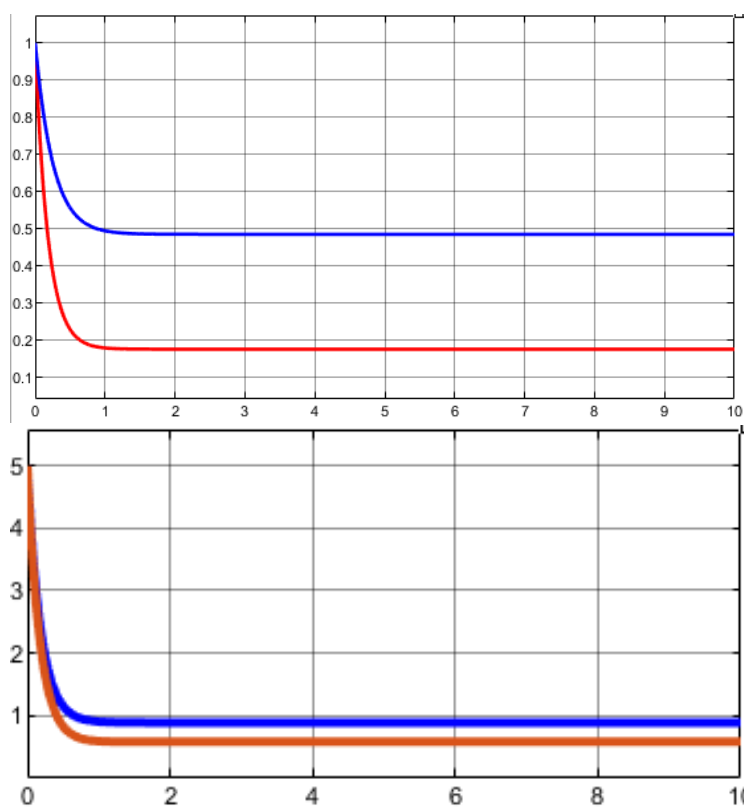


Рис. 2 График состояний наблюдателя первой подсистемы и невязка



*Рис. 3 Графики выходной переменной и состояний второй подсистемы*



*Рис. 4 График состояний наблюдателя второй подсистемы и невязка*

**Вывод:** в итоге проделанной работы мы освоили как стабилизировать системы с помощью альтернативного управления, познакомились с новыми методами регулирования